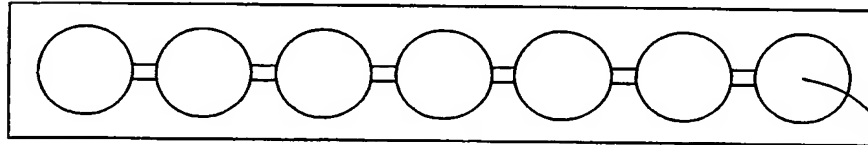
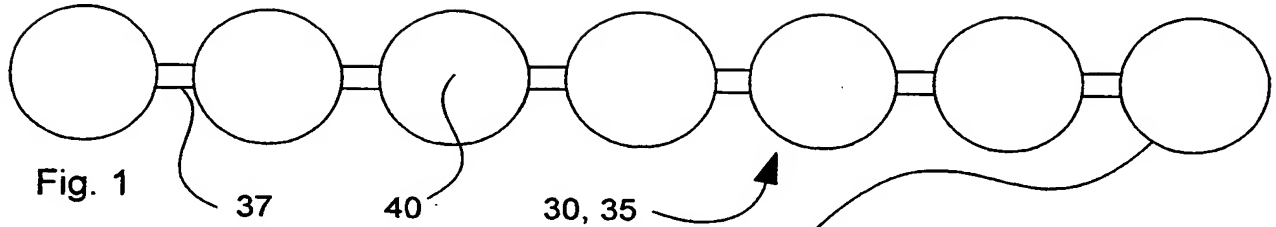


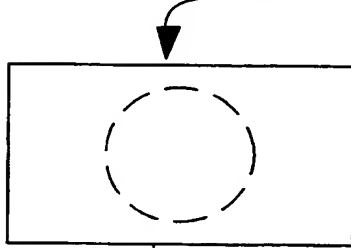
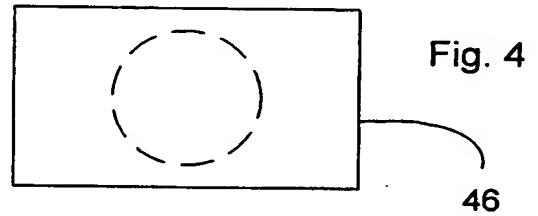
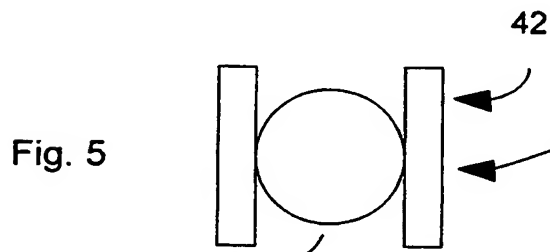
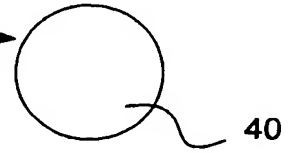
WO 01/12359

PCT/US00/22742



43

Fig. 3



48

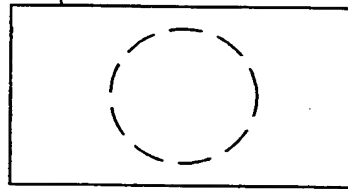


Fig. 8

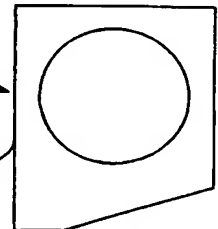


Fig. 6

Fig. 7

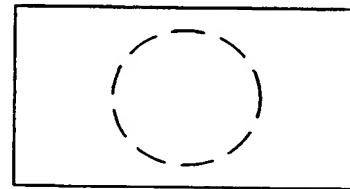
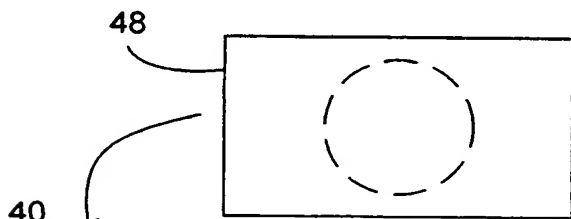


Fig. 9

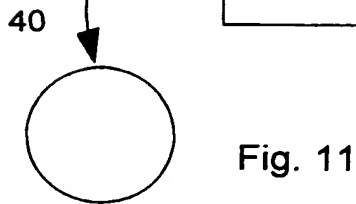


Fig. 10

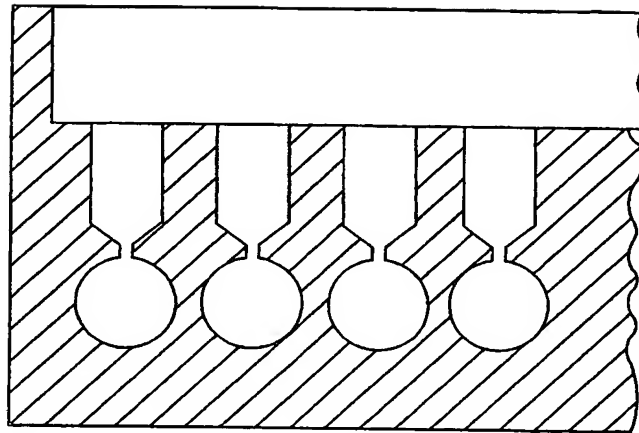


Fig. 1A

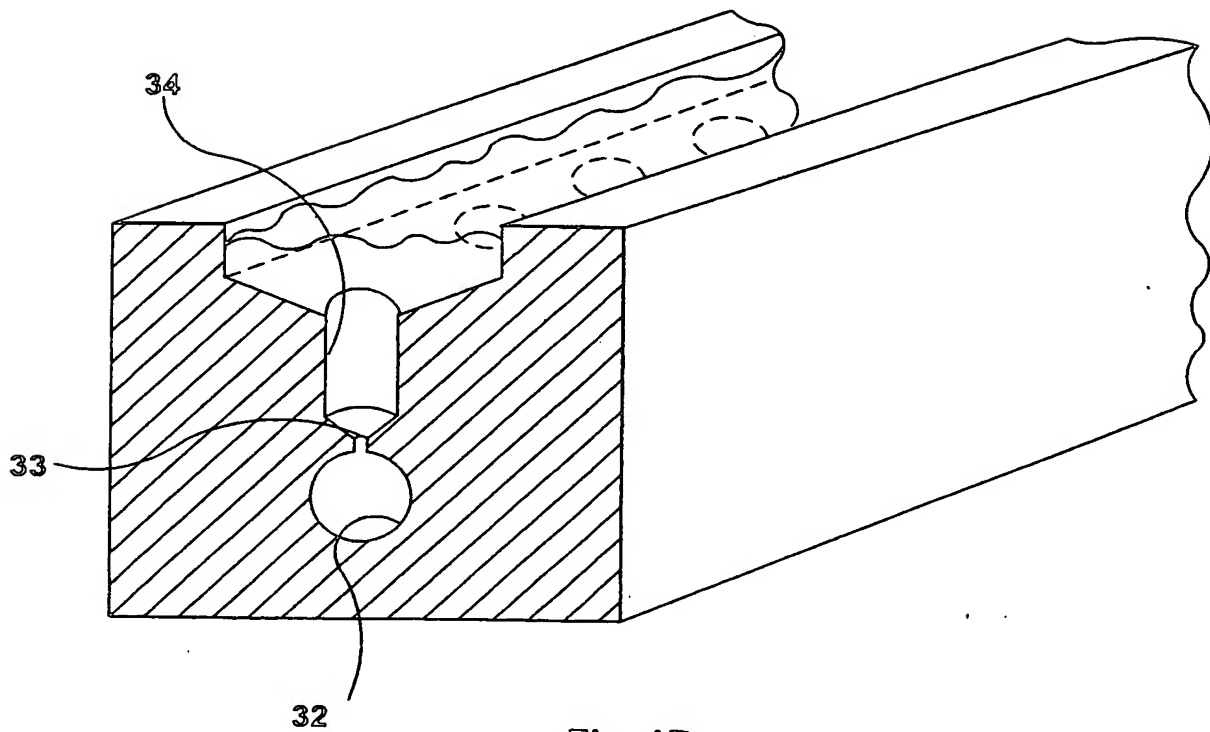


Fig. 1B

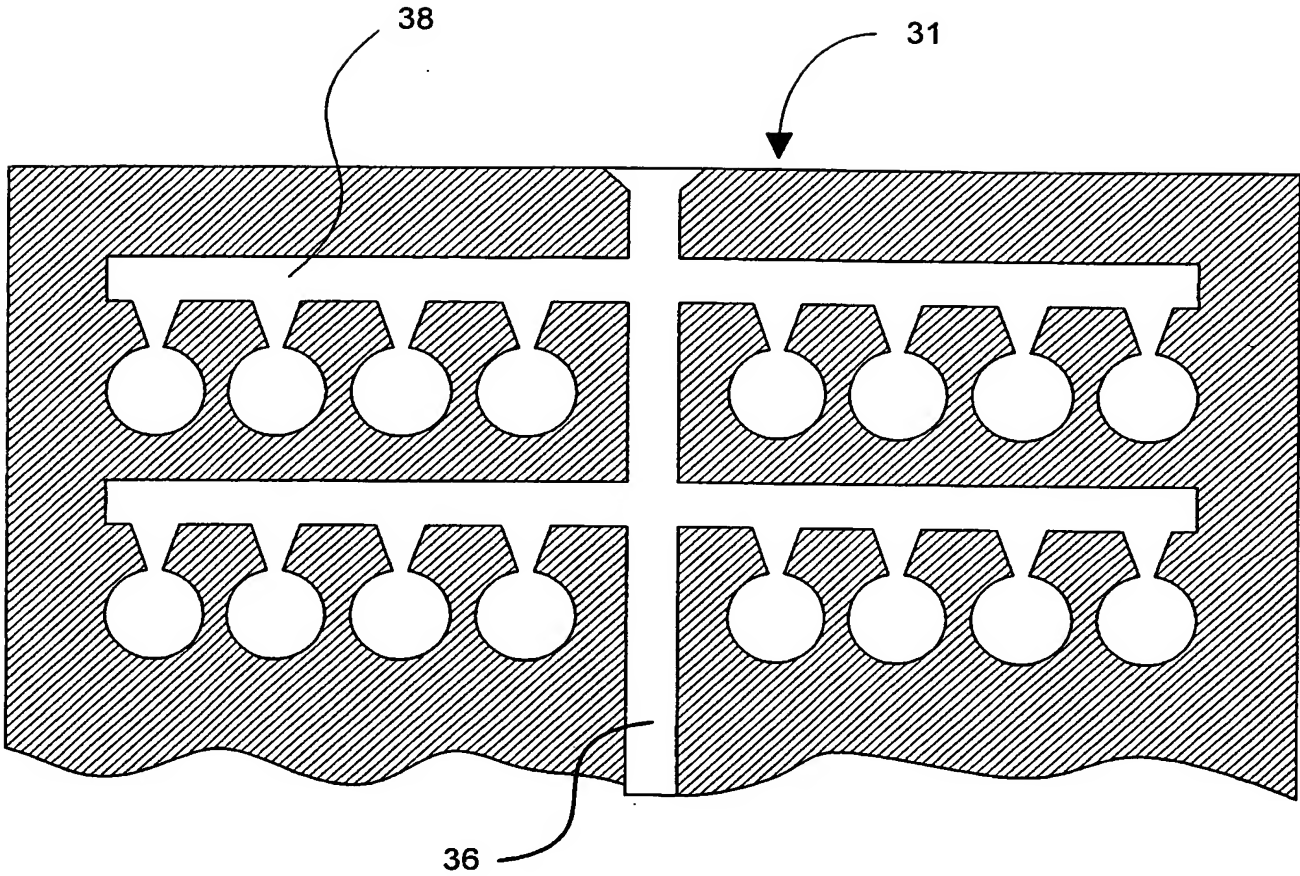


Fig. 1C

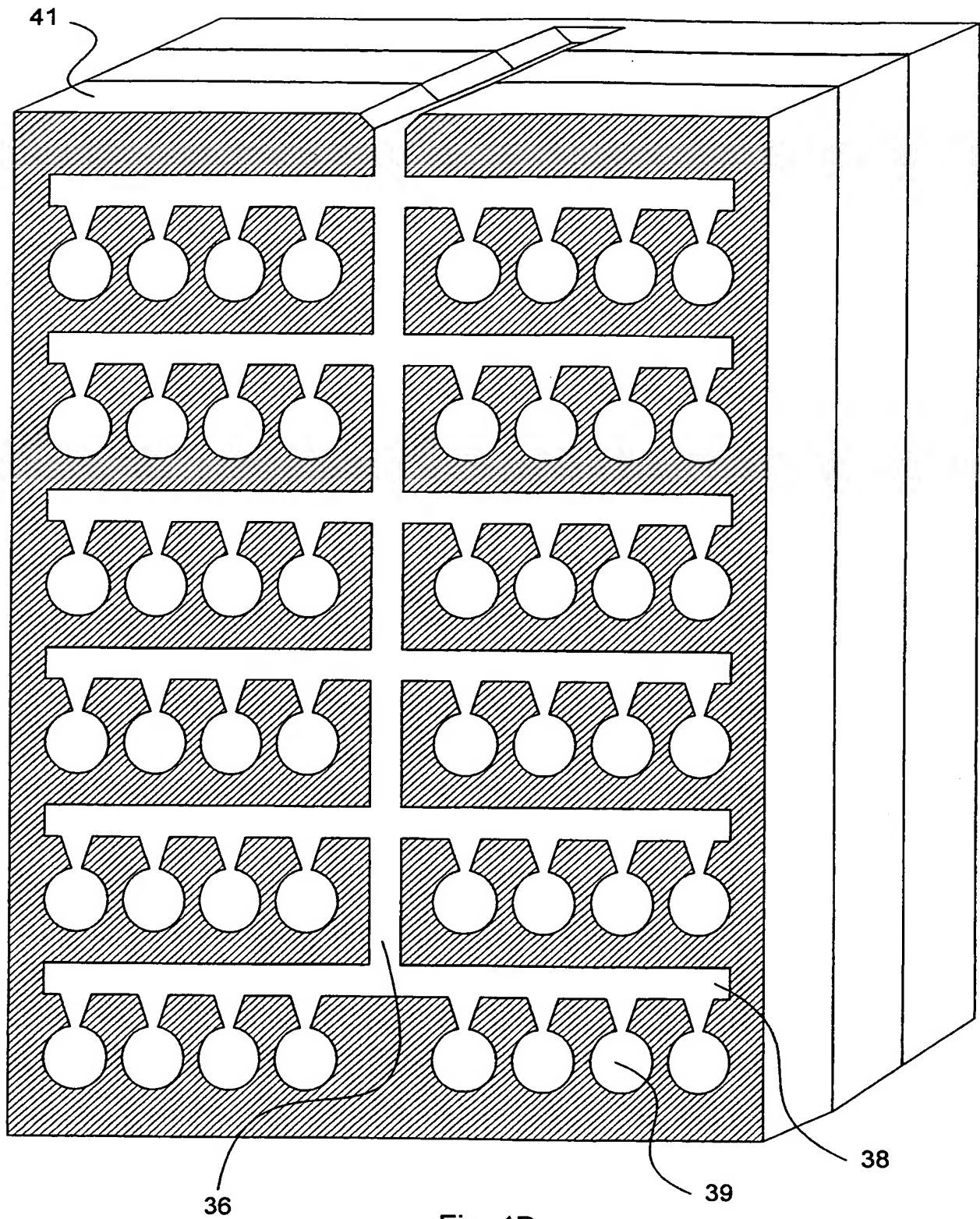


Fig. 1D

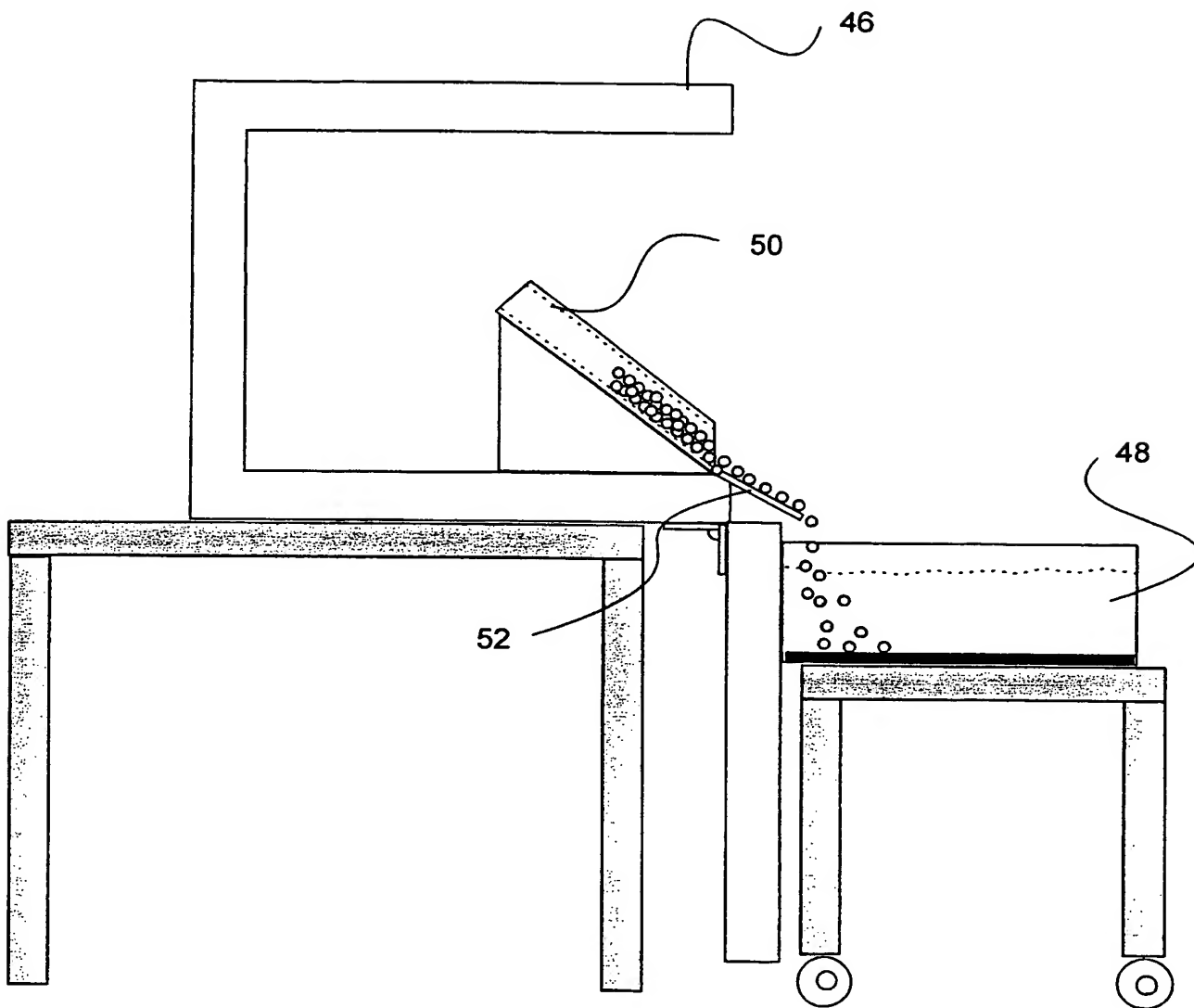


Fig. 7A

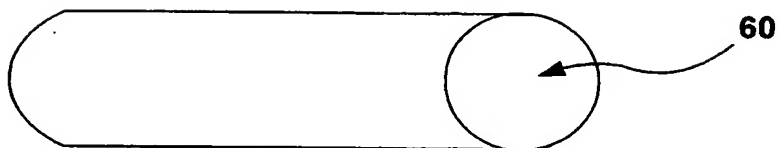


Fig. 12

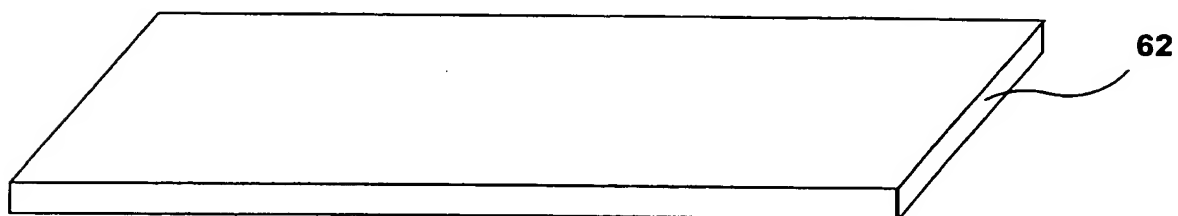


Fig. 13

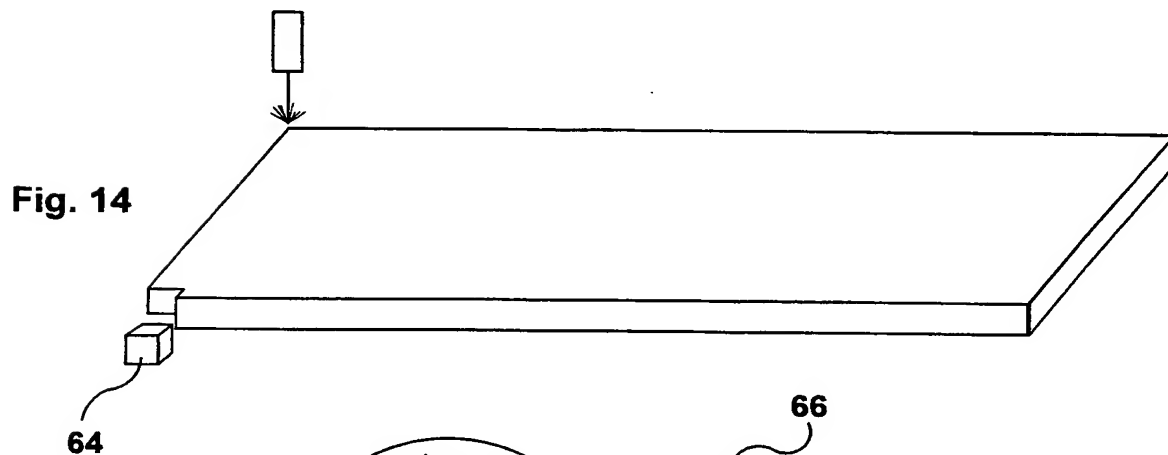


Fig. 14

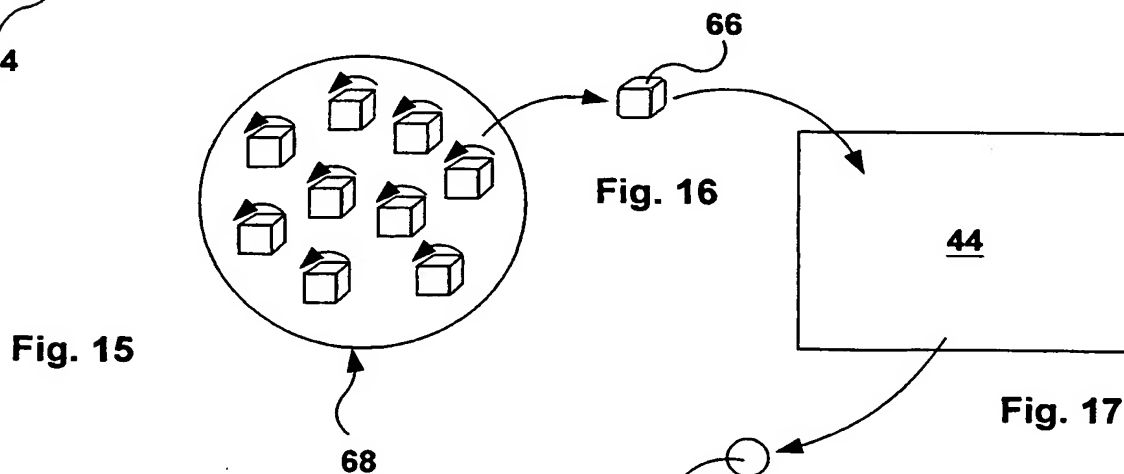


Fig. 15

Fig. 16

Fig. 17

Fig. 18

#1

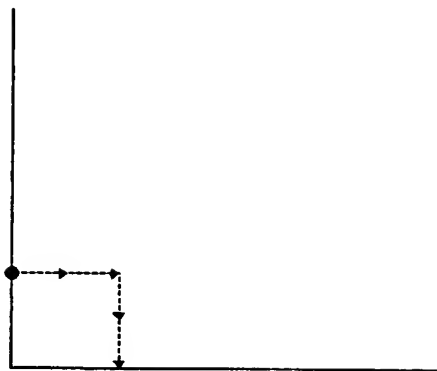


Fig. 19

#2

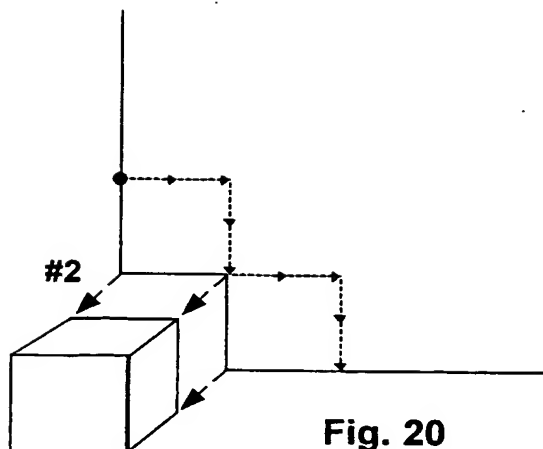


Fig. 20

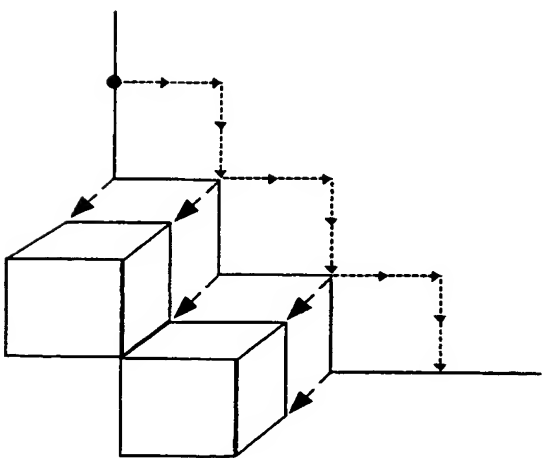


Fig. 21

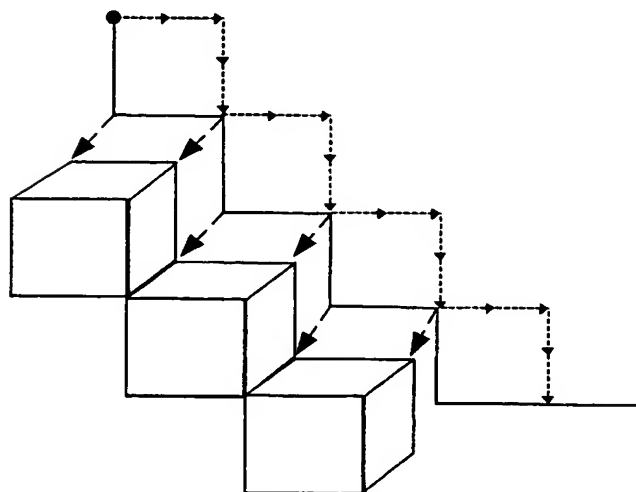


Fig. 22

#1

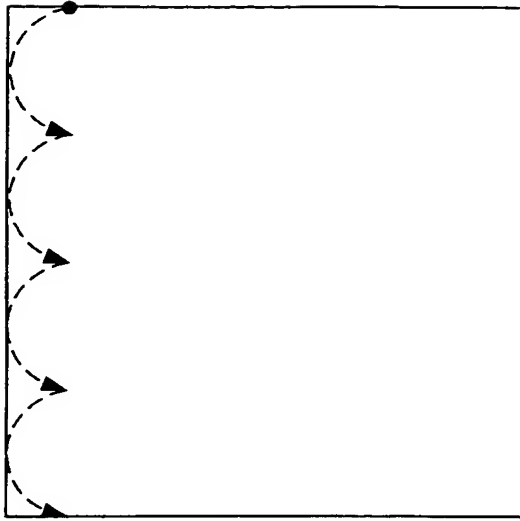


Fig. 23

#2

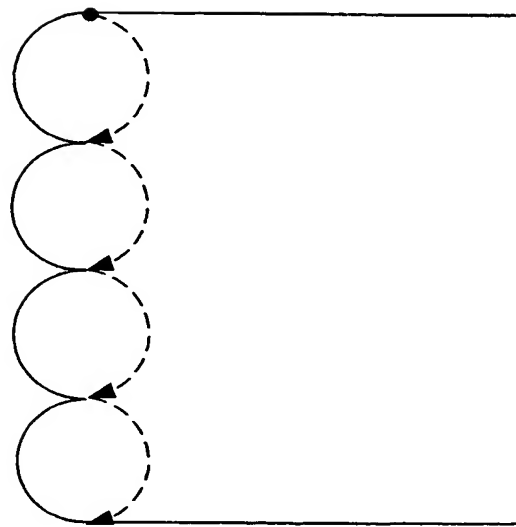


Fig. 24

#3

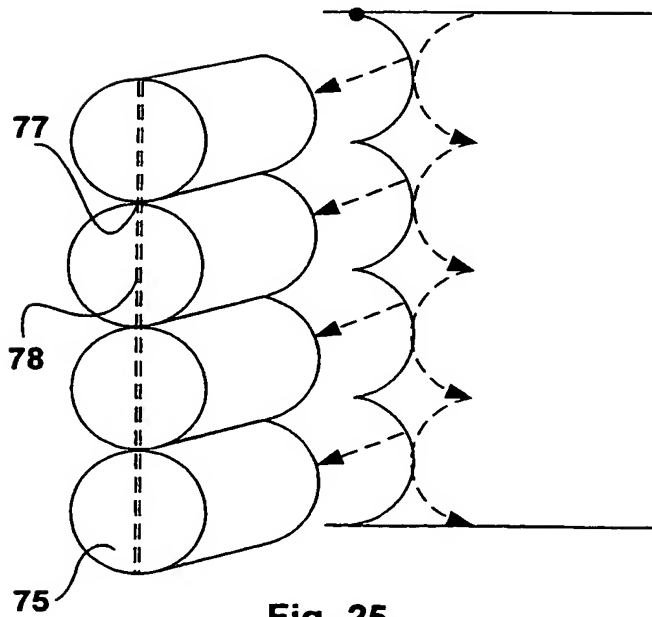


Fig. 25

#4

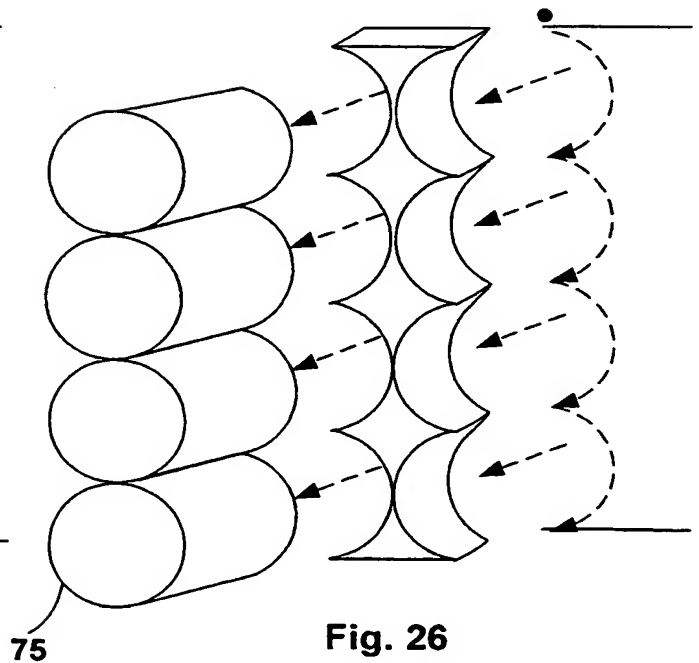


Fig. 26



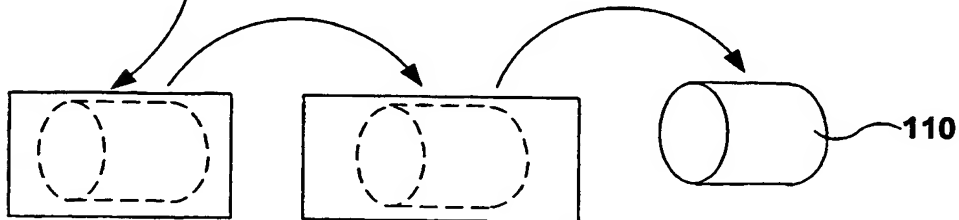
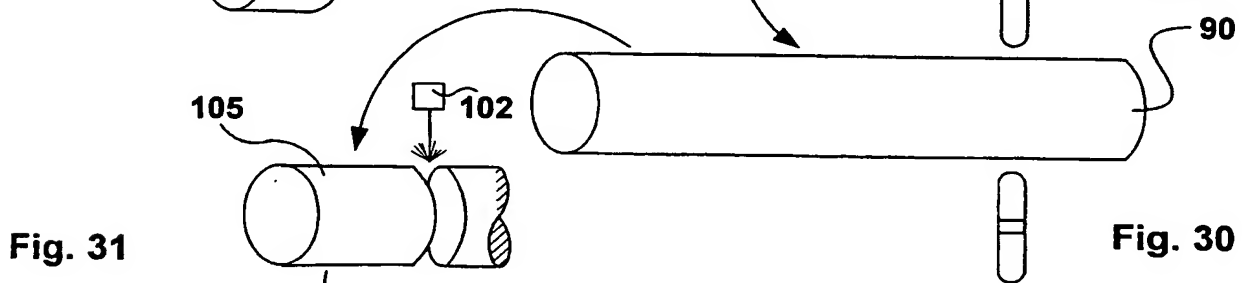
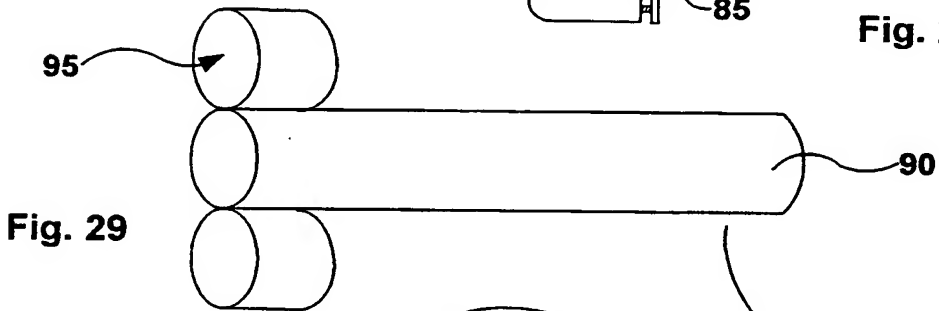
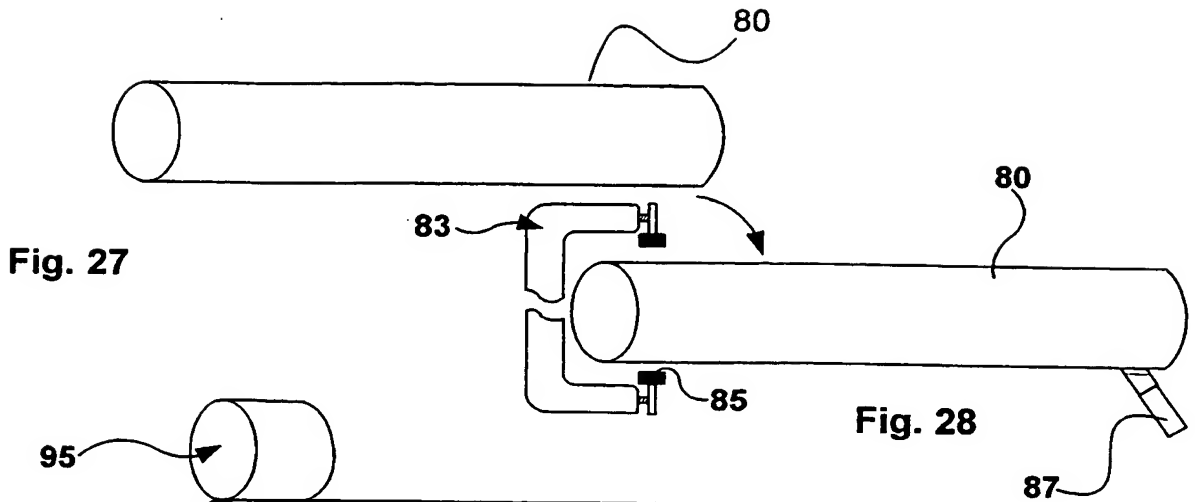


Fig. 32

Fig. 33

Fig. 34

